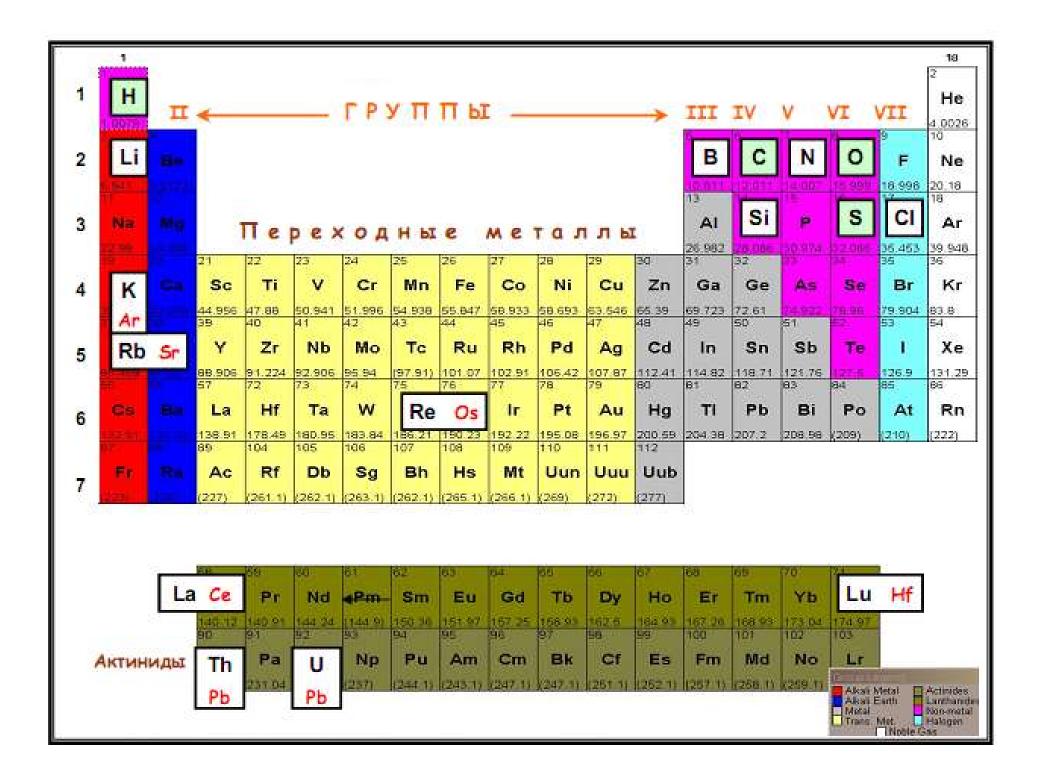
Тема занятия (лекция № 4):

ИСПОЛЬЗОВАНИЕ СТАБИЛЬНЫХ И РАДИОГЕННЫХ ИЗОТОПОВ В ГЕОХИМИИ МАГМАТИЗМА



Стабильные изотопы в геохимии

- (1) Имеют низкие атомные массы.
- (2) Значительные отличия массы изотопов (H D, 100%).
- (3) C, N и S могут присутствовать в различной степени окисления.
- (4) Высокая распространенность легких изотопов, что облегчает масс-спектроскопические исследования

Расчет изотопного состава кислорода (°/₀₀)

$$\delta^{18}O = \frac{\binom{^{18}\text{O}/^{16}\text{O}}{_{\text{Sample}}} - \binom{^{18}\text{O}/^{16}\text{O}}{_{\text{SMOW}}} \times 1000}{\binom{^{18}\text{O}/^{16}\text{O}}{_{\text{SMOW}}}} \times 1000$$

$$\delta^{18}$$
O > 0 - относительное обогащение изотопом 18 O

$$\delta^{18}$$
O < 0 - относительное обеднение изотопом 18 O

Главные стабильные изотопы и их стандарты

Элемент	Символ	Отношение	Стандарт	Значение
Н	δD	D/H	SMOW	1.557×10 ⁻⁴
C	$\delta^{13}C$	¹³ C/ ¹² C	PDB	1.122×10 ⁻²
N	$\delta^{15}N$	¹⁵ N/ ¹⁴ N	ATM	3.613×10 ⁻³
0	δ ¹⁸ O	¹⁸ O/ ¹⁶ O	SMOW	2.005×10 ⁻³
	δ^{17} O	¹⁷ O/ ¹⁶ O	smow	3.76×10 ⁻⁴
5	δ^{34} 5	³⁴ 5/ ³² 5	CDT	4.43×10 ⁻²

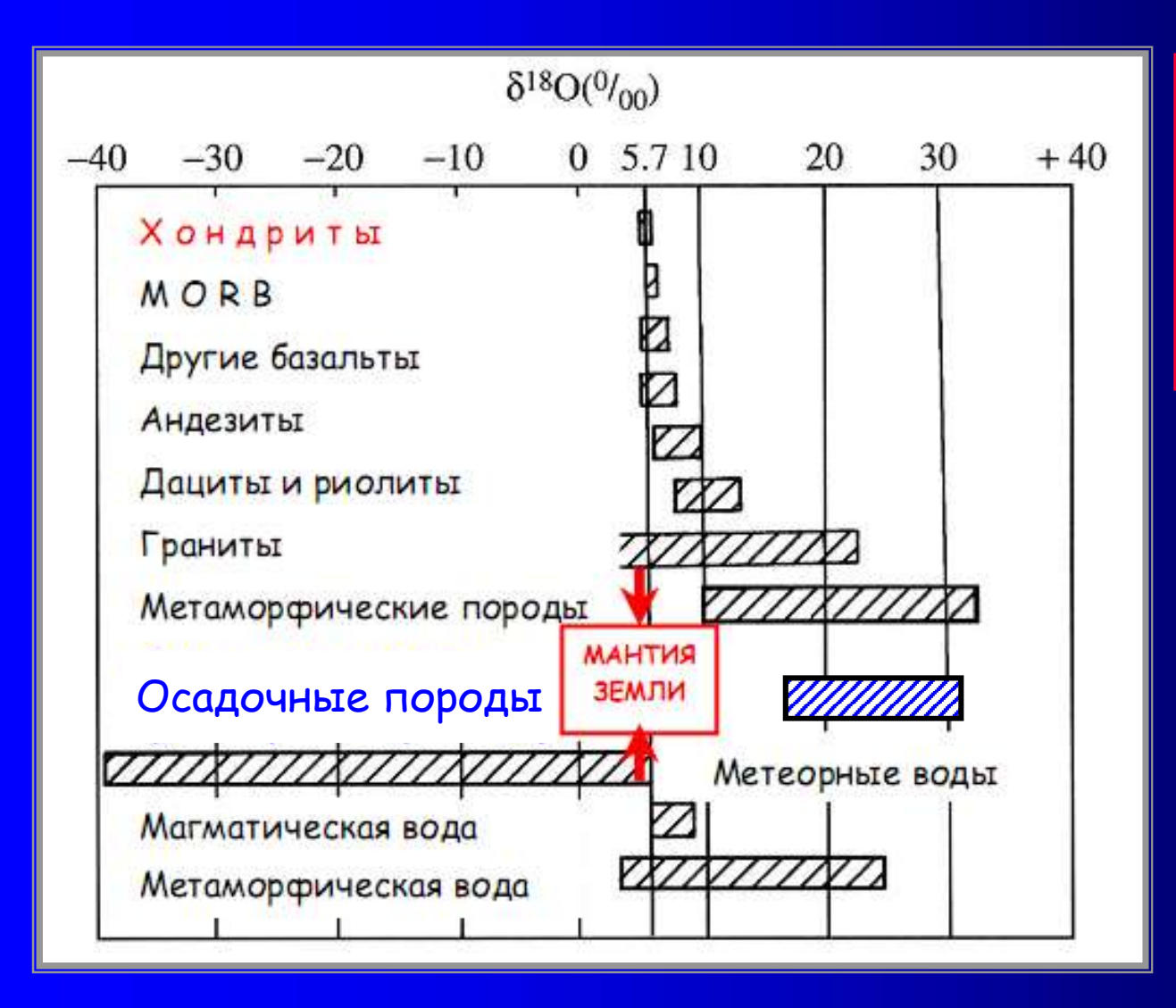
SMOW - Standard Mean Oceanic Water

PDB - Cretaceous Peedee formation Belemnitella

ATM - Atmosphere

CDT - Canyon Diablo Troilite

Изотопный состав кислорода в природных объектах



Значение $\delta^{18}O = 5.7 \, ^{0}/_{00}$ принято за состав верхней мантии

SMOW

¹⁶O =99.756%

 $^{17}O = 0.039\%$

 $^{18}O = 0.205\%$

ОКЕАНЫ:

При испарении уходит облегченный кислород

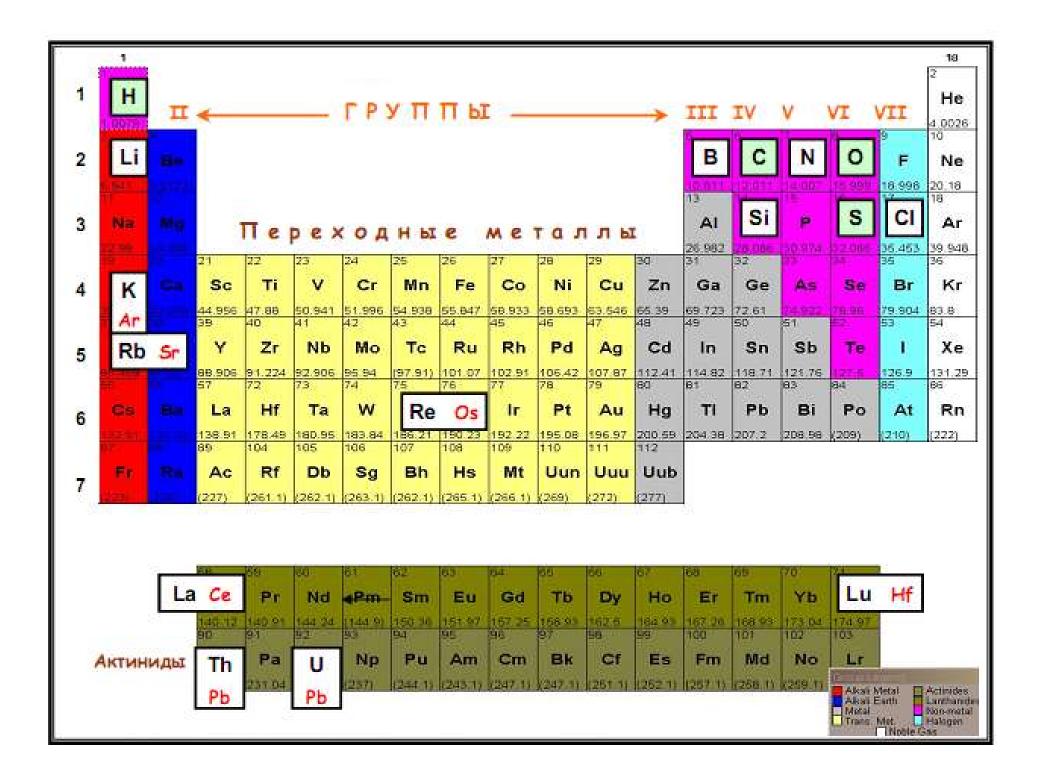
В осадках происходит накопление тяжелого кислорода

Общий баланс привноса – выноса определяет пониженные значения δ^{18} О по сравнению с мантией и хондритами

Изотопный состав кислорода в базальтах



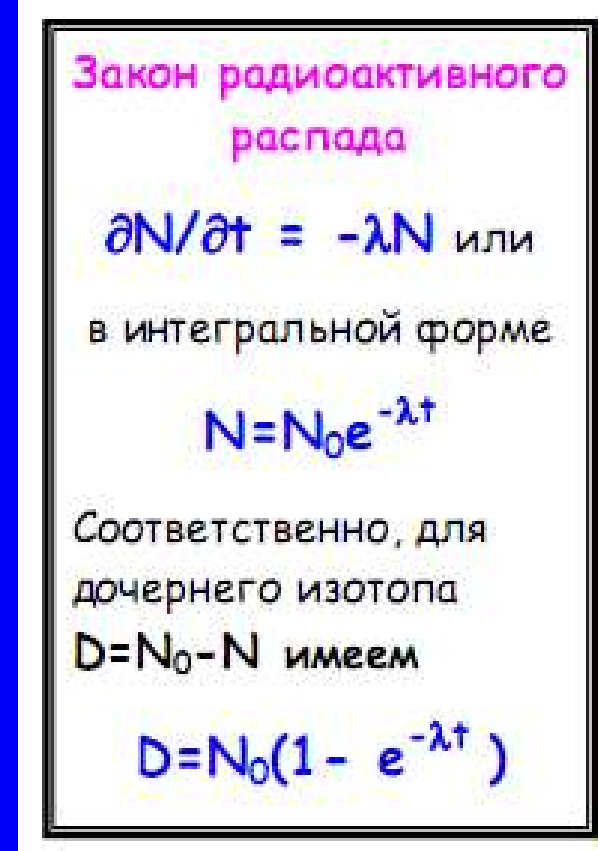
Значение δ^{18} O = 5.7 0 /₀₀ принято за состав верхней мантии

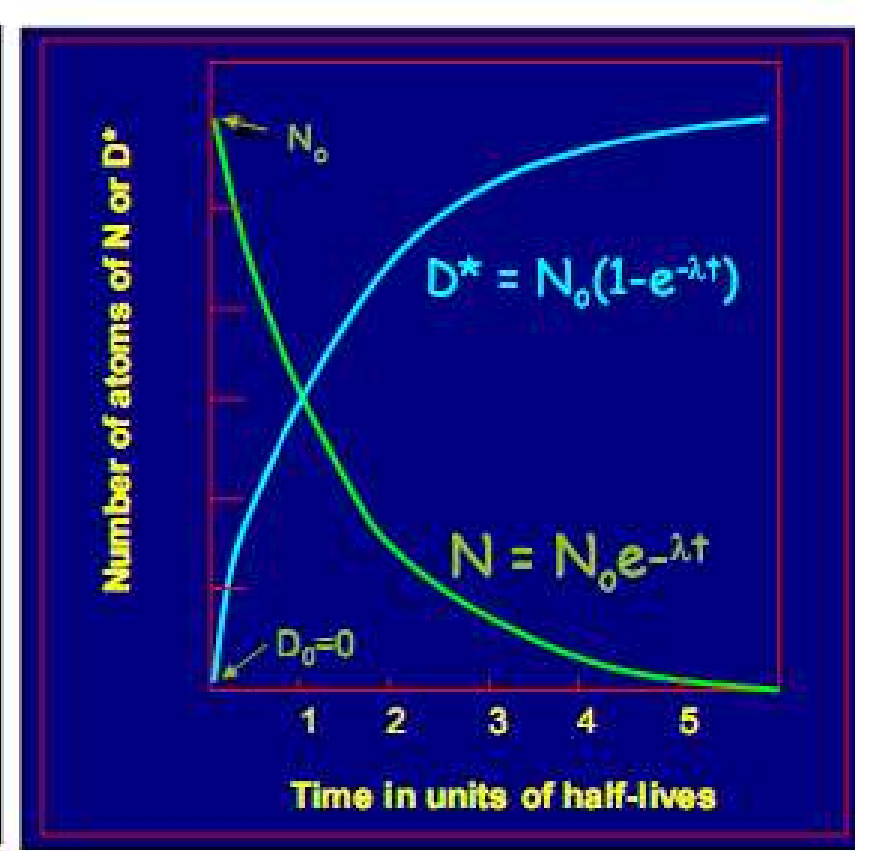


Важнейшие радиогенные изотопы

Материнский изотоп	Тип распада	Период полураспада, (млрд. лет)	Дочерний изотоп	Характеристическое отношение
40 K	β	1,28	⁴⁰ Ar, ⁴⁰ Ca	40 Ar / 36 Ar
⁸⁷ Rb	β	48.8	⁸⁷ Sr	87 Sr / 86 Sr
138 La	β	259	¹³⁸ Ce	¹³⁸ Ce / ¹³² Ce
¹⁴⁷ Sm	α	106	143 Nd	143 Nd / 144 Nd
76 Lu	β	36	76 Hf	¹⁷⁶ Hf / ¹⁷⁷ Hf
¹⁸⁷ Re	β	42,3	¹⁸⁷ Os	¹⁸⁷ Os / ¹⁸⁸ Os
²³² Th	α	14	²⁰⁸ Pb, ⁴ He	²⁰⁸ Pb / ²⁰⁴ Pb
235 U	α	0,707	207 Pb, 4 He	²⁰⁷ Pb / ²⁰⁴ Pb
238 U	α	4,47	²⁰⁶ Pb, ⁴ He	206 Pb / 204 Pb

Закон радиоактивного распада





Определение периода полураспада

$$ln(N/N_0) = ln(1/2) = -\lambda t_{1/2}$$
 $t_{1/2} = ln2/\lambda$

Примеры для Rb-Sr и Sm-Nd систем

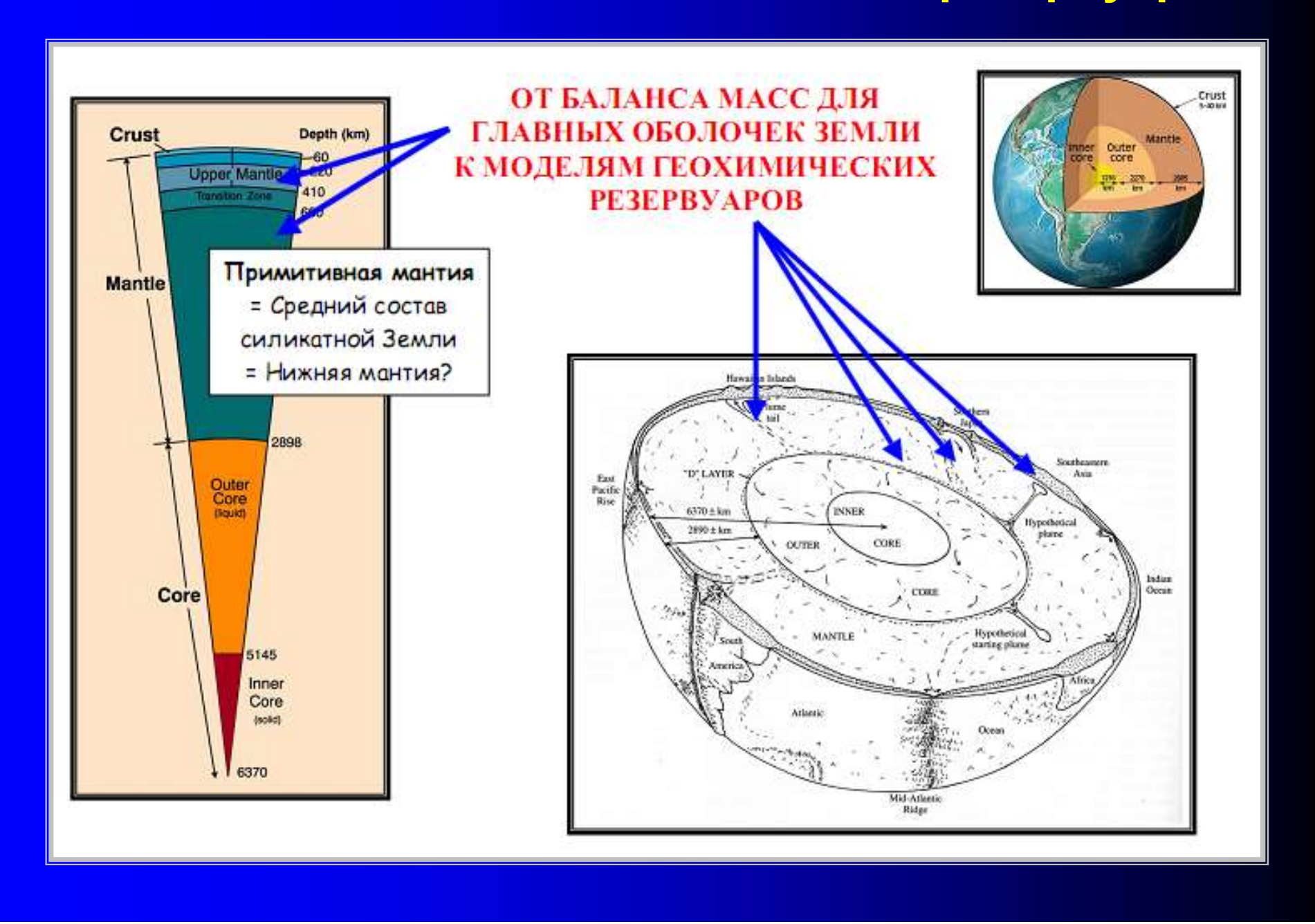
Если в качестве материнского (№) и дочернего (D) изотопов рассматривать ⁸⁷Rb и ⁸⁷Sr, то очевидно, что породы с высоким содержанием Rb со временем дают породы, содержащие больше радиогенного стронция.

Аналогично, породы, обогащенные легкими Р.З.Э. (включая Sm),

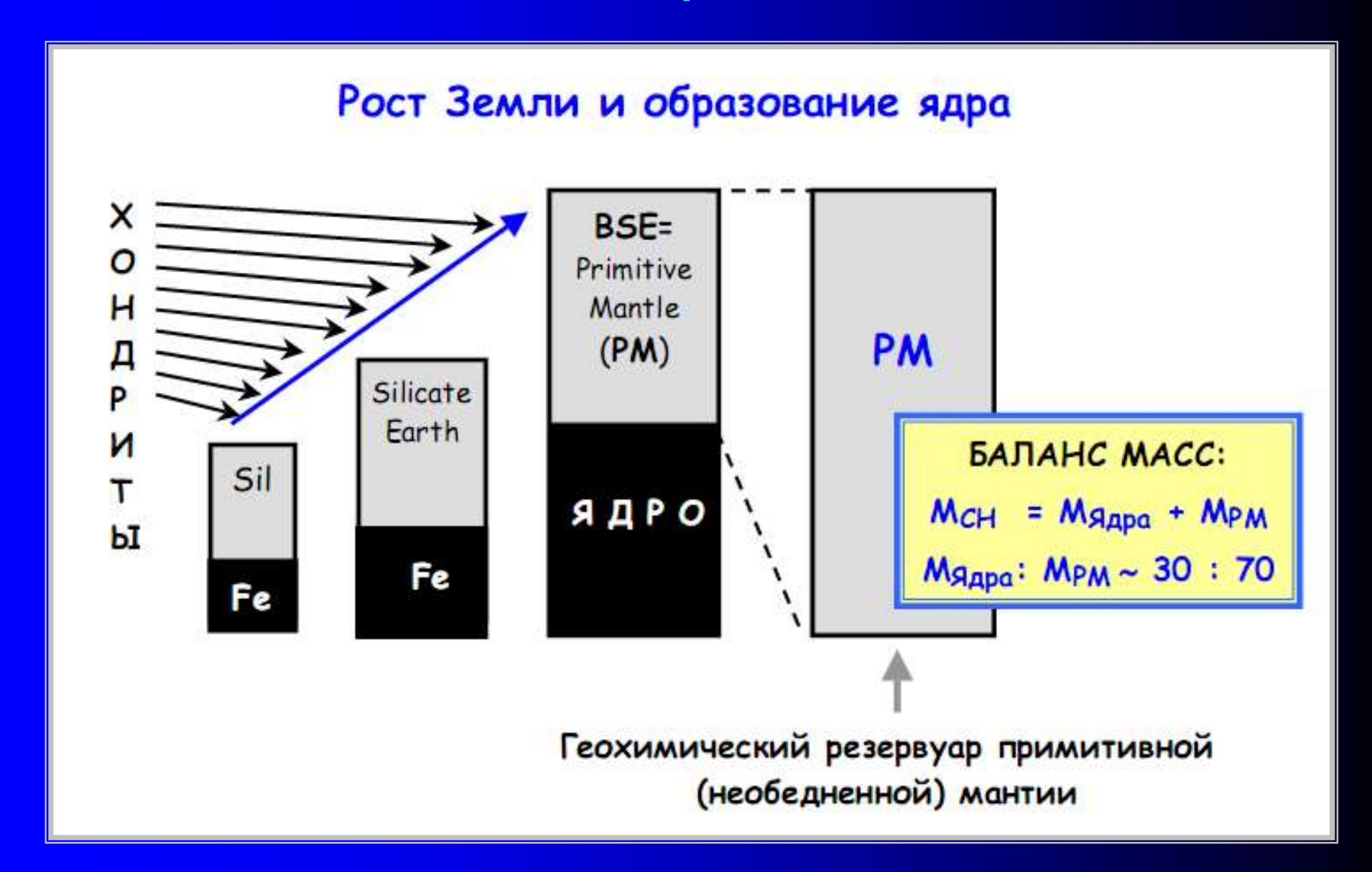
147
Sm \rightarrow 143 Nd + α -частица

преобразуются в породы с повышенной концентрацией изотопа ¹⁴³Nd.

Концепция изотопно-геохимических резервуаров

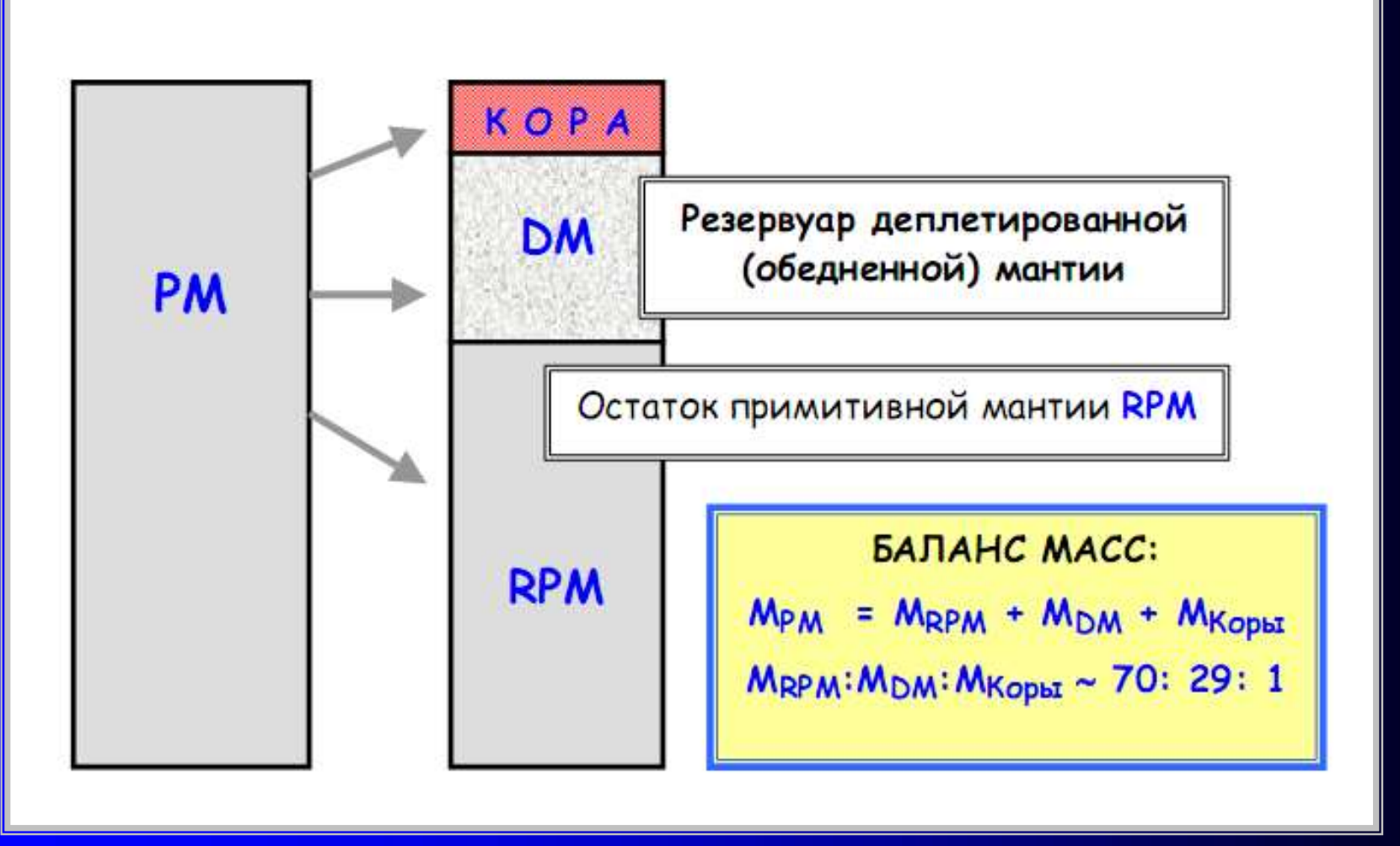


Главные стадии образования Земли - І

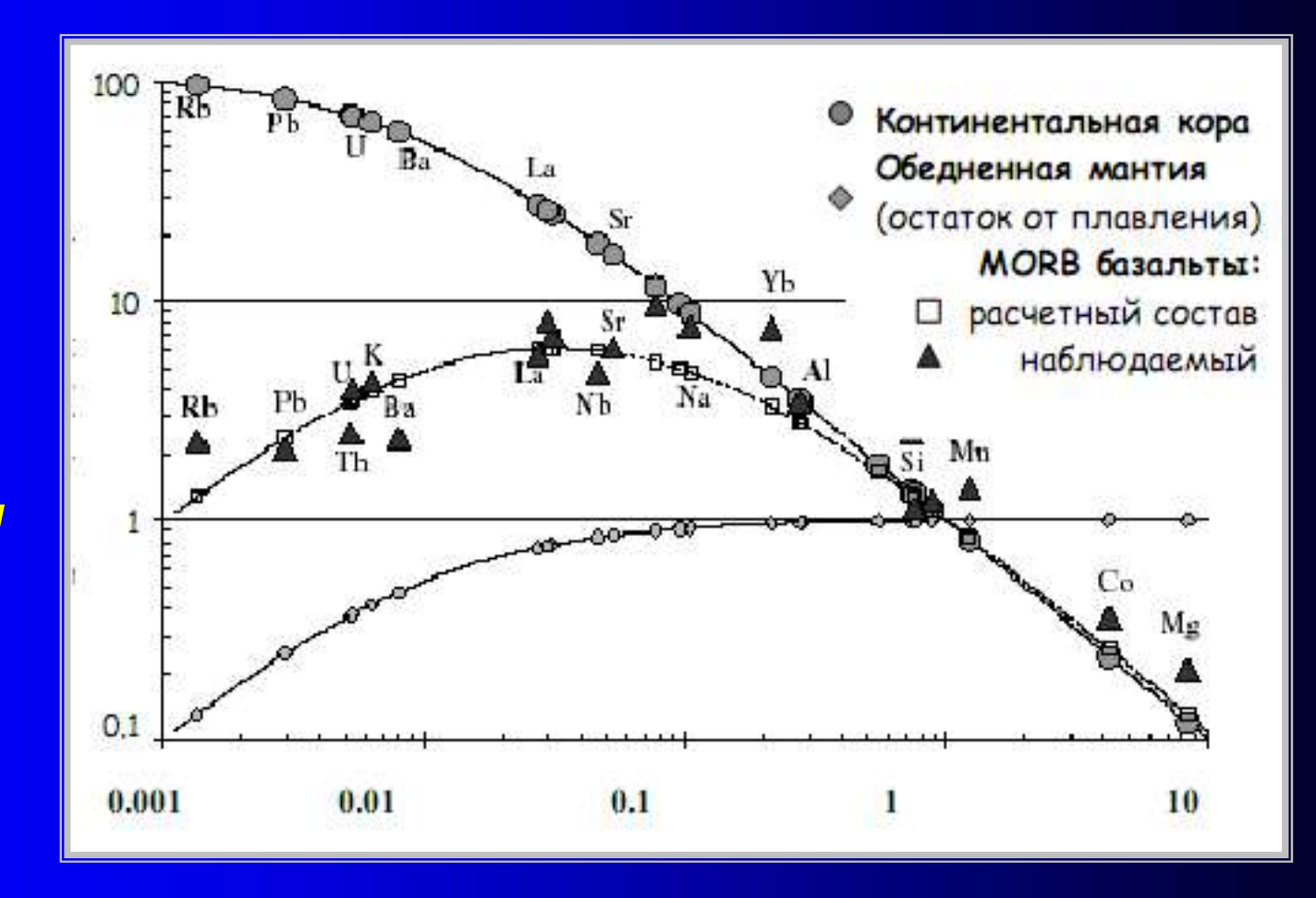


Главные стадии образования Земли - II

Образование коры и деплетированной мантии



Разделение элементов в системе кора — мантия (*Hoffman*, 2004)



PM = 1

D_i = C_i DM / C_i ^{кора} – коэффициент разделения (фракционирования) элементов в между деплетированной мантией и корой

Главные мантийные резервуары

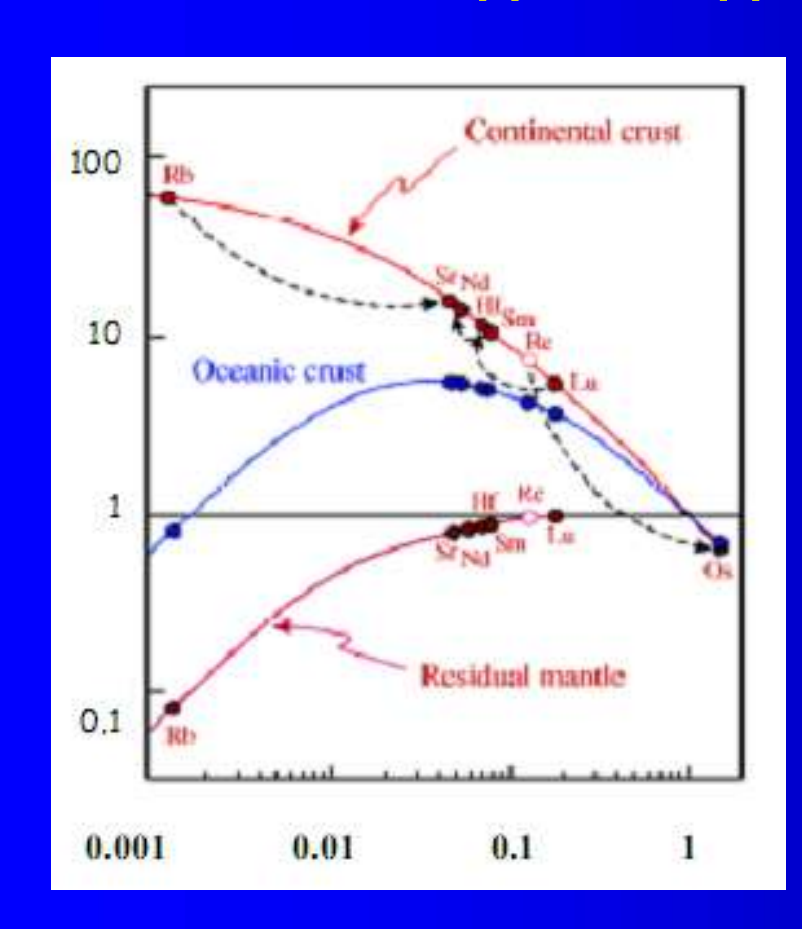
- (1) ПРИМИТИВНАЯ МАНТИЯ Primitive Mantle (PM)
- (2) ДЕПЛЕТИРОВАННАЯ (обедненная, истощенная)
 МАНТИЯ Depleted Mantle (DM)
- (3) ОБОГАЩЕННАЯ (аномальная) МАНТИЯ Enriched Mantle (EM)

В изотопной геологии

EM1, EM2, HIMU и др.

В петрологии и геохимии – соответственно геохимическим спектрам !!!

Разделение элементов в системе кора – мантия и последствия для изотопных отношений



 $D_i(3\phi\phi) = C_i^{DM}/C_i^{KOPa}$

Схема различных отношений Rb/Sr и Sm/Nd для корового и обедненного мантийного резервуаров

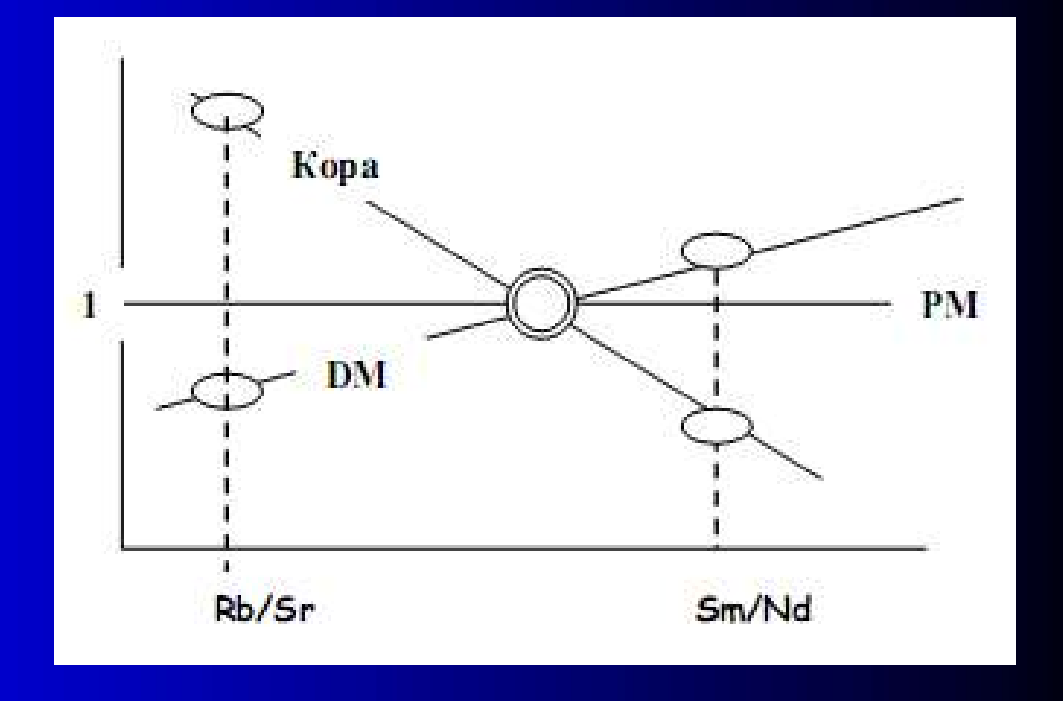
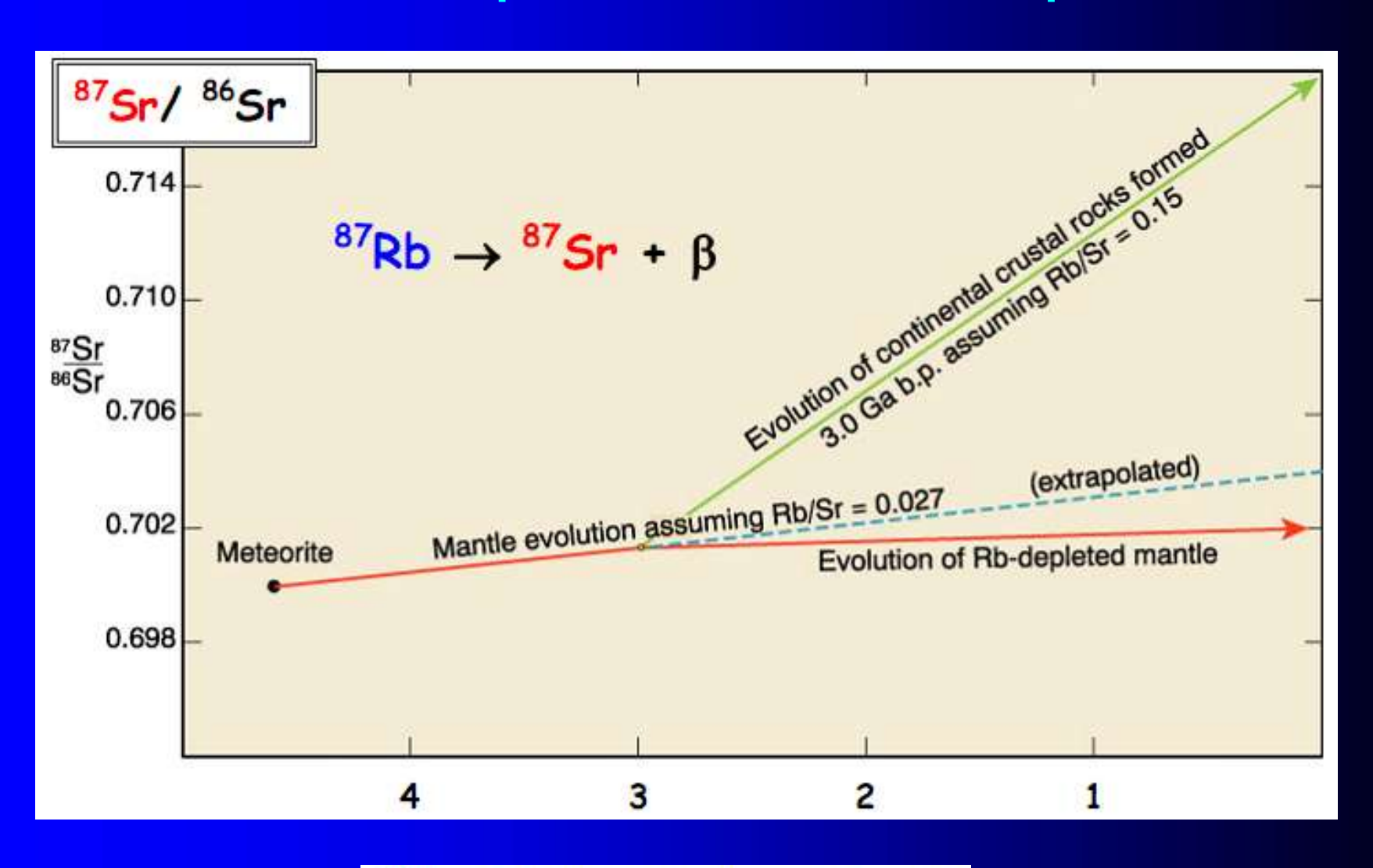
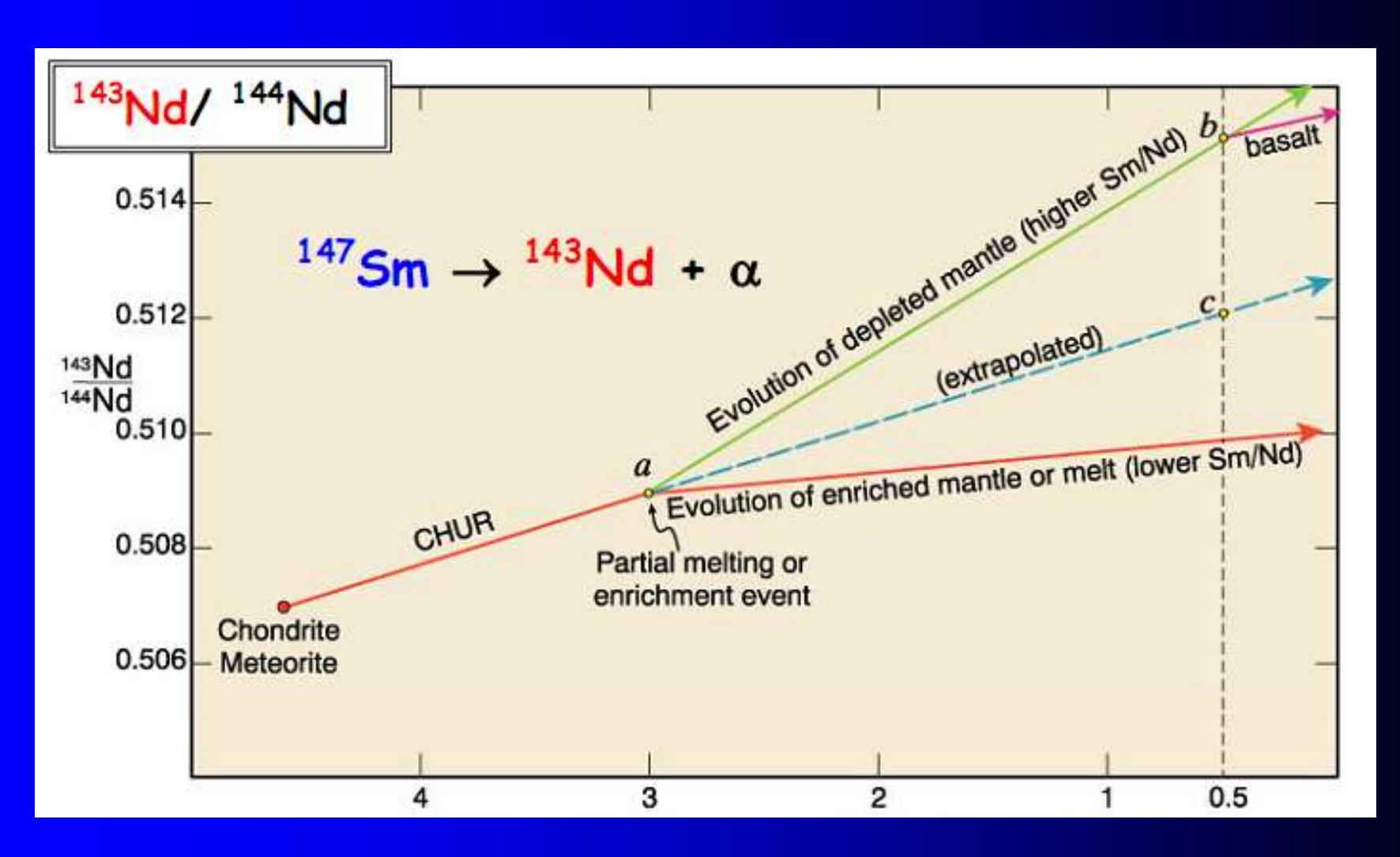


Схема эволюции изотопного состава Sr в деплетированной мантии и коре

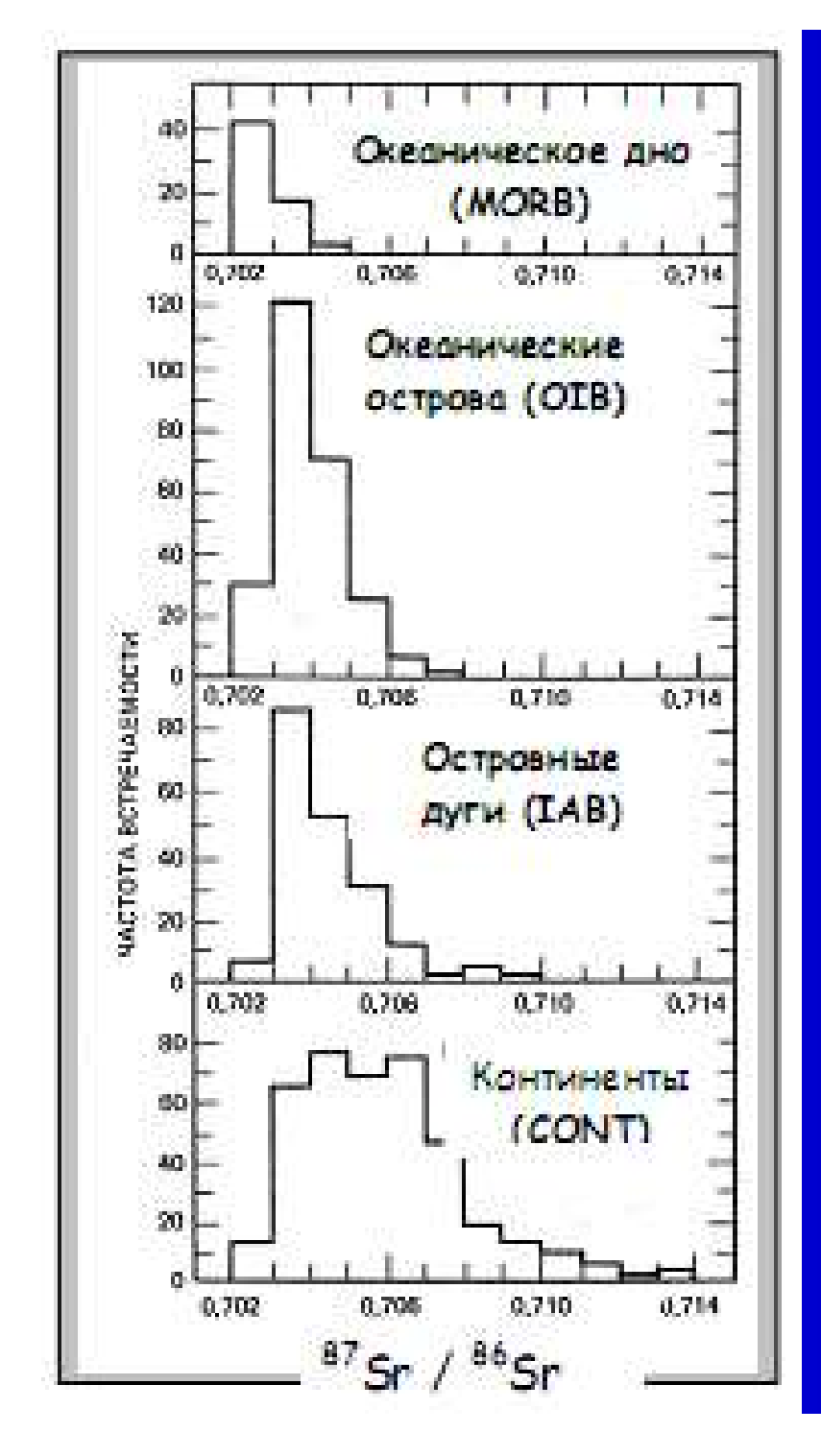


Млрд. лет до настоящего времени

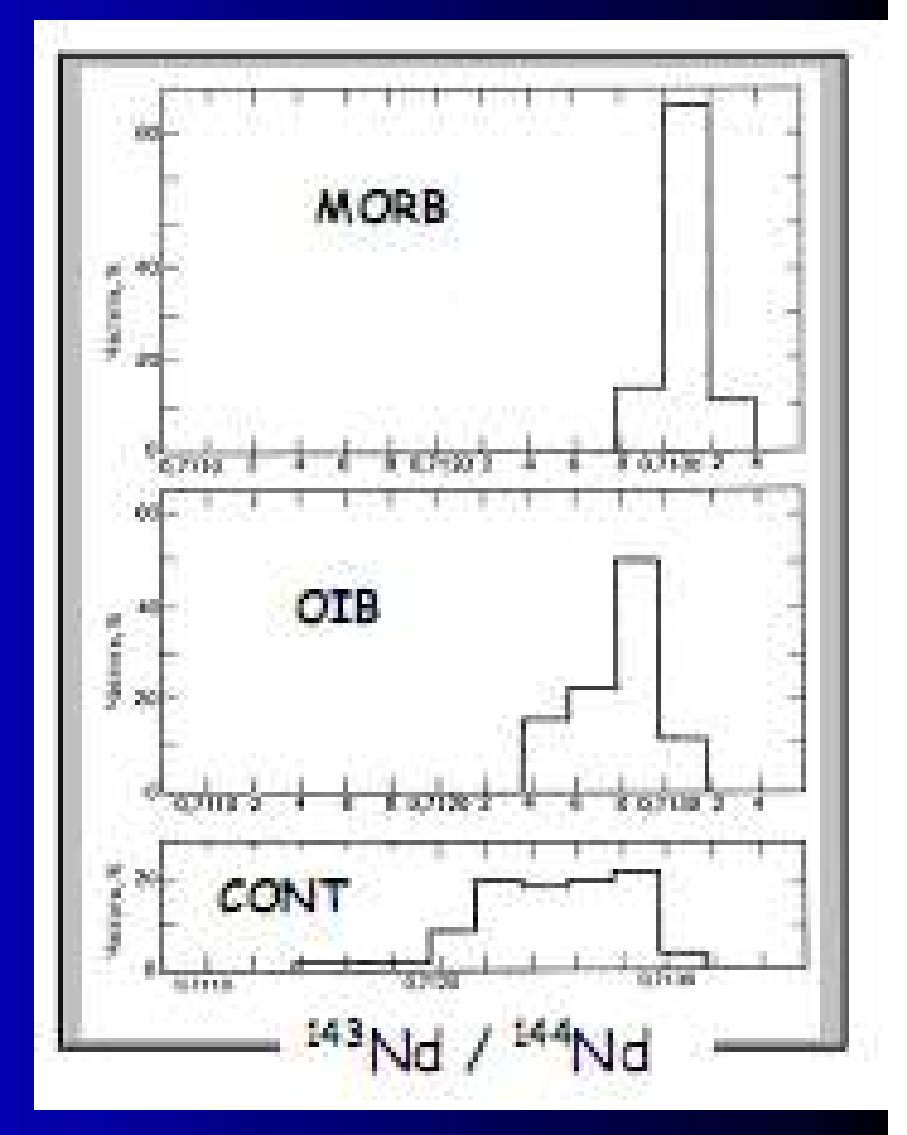
Схема эволюции изотопного состава Nd в деплетированной мантии и коре



Млрд. лет до настоящего времени

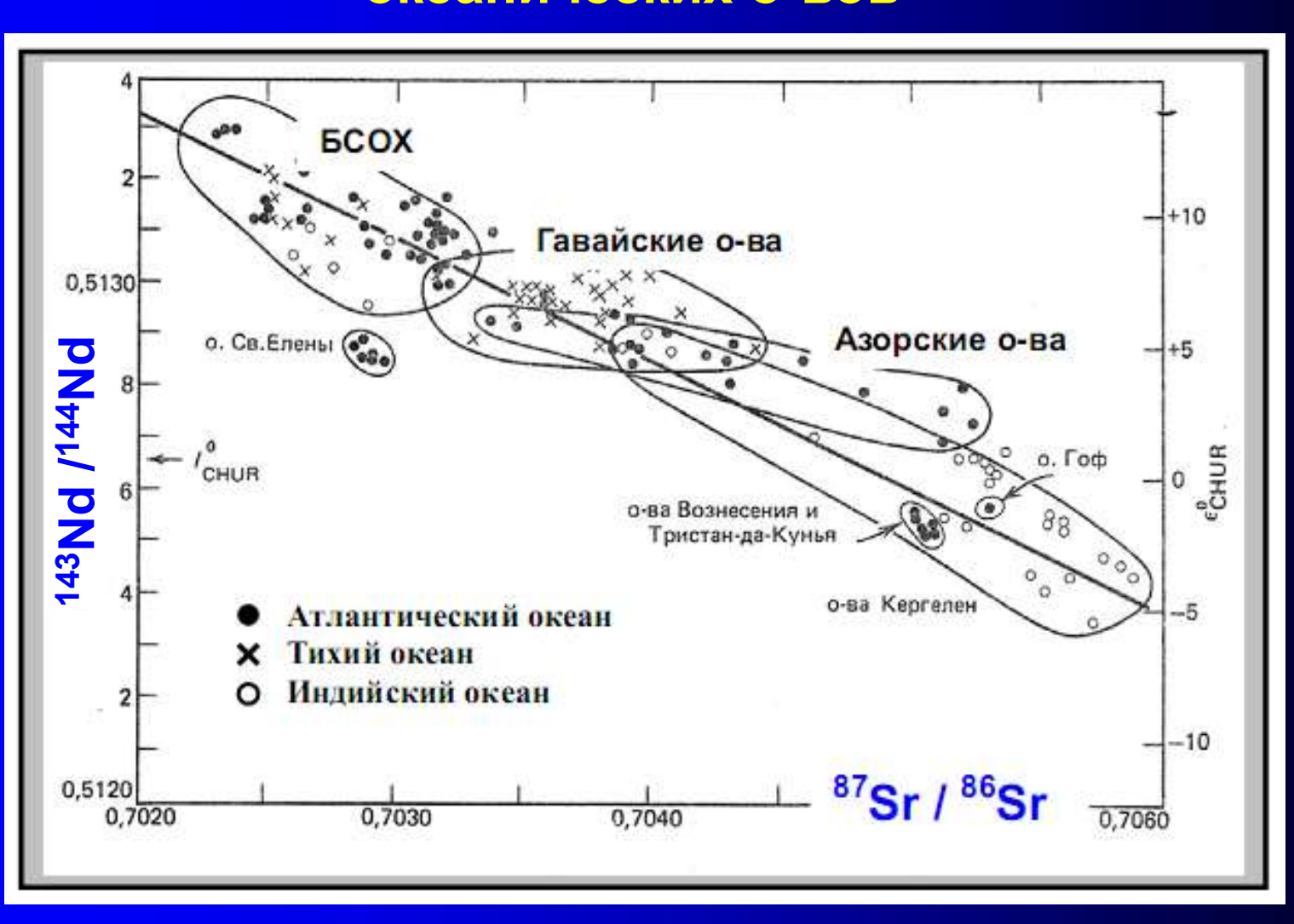


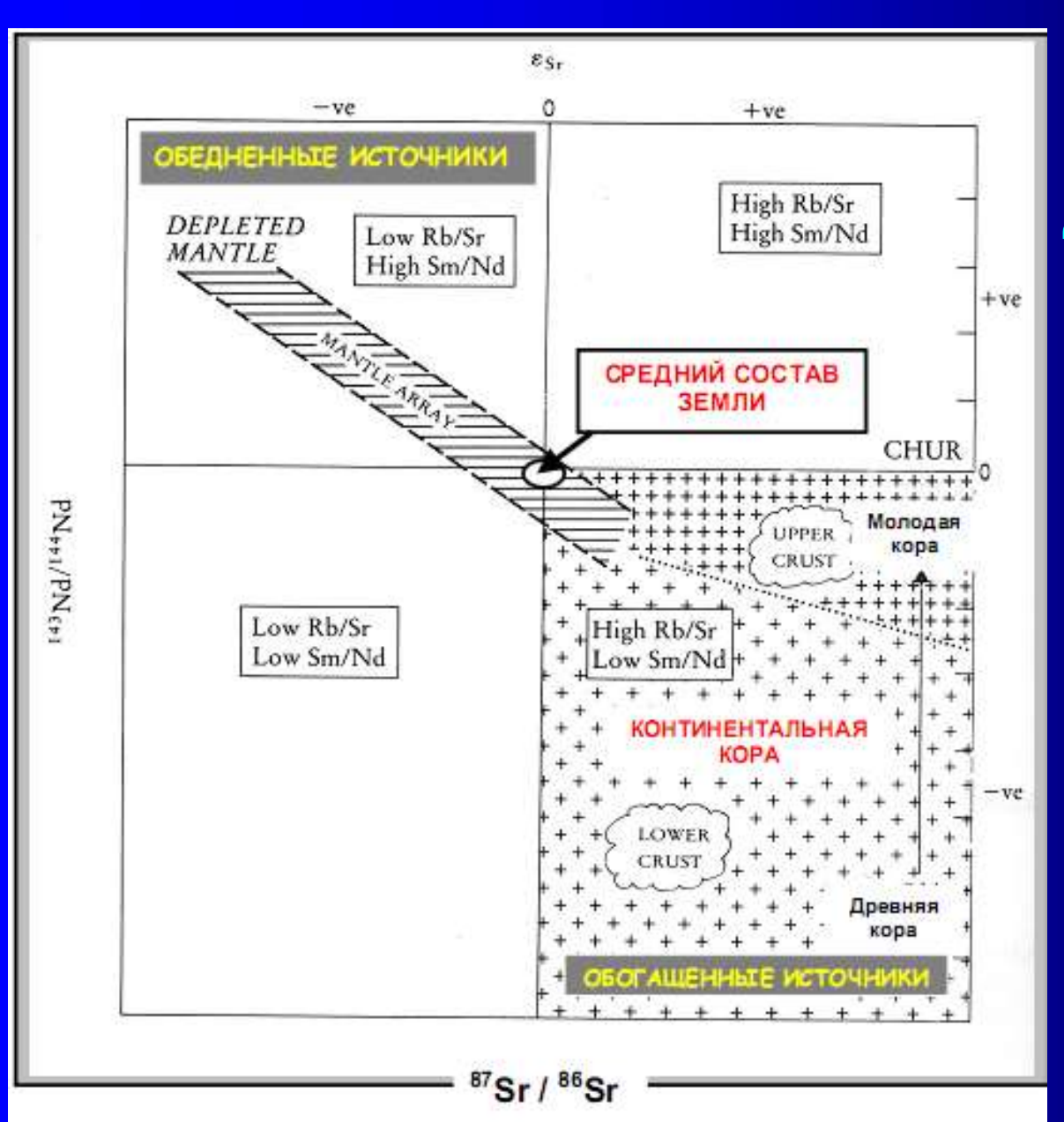
Гистограммы отношений ⁸⁷Sr /⁸⁶Sr в вулканических породах



Отношения ¹⁴³Nd /¹⁴⁴Nd в вулканических породах

Корреляция отношений ⁸⁷Sr /⁸⁶Sr и ¹⁴³Nd /¹⁴⁴Nd в базальтах срединно-океанических хребтов и океанических о-вов



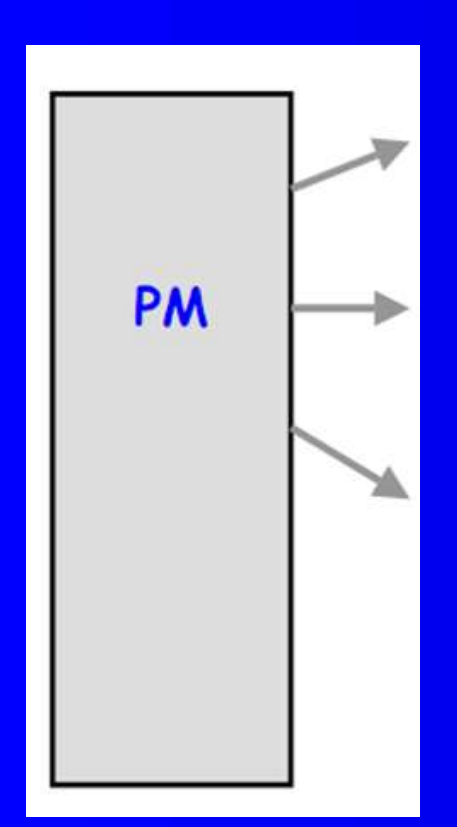


Относительный характер терминов "обедненность" и "обогащенность" с учетом гетерогенности мантийно-коровых источников магм

В ДЕЙСТВИТЕЛЬНОСТИ ВСЕ СЛОЖНЕЕ...

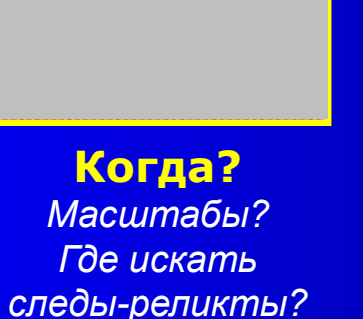
Образование коры и деплетированной мантии

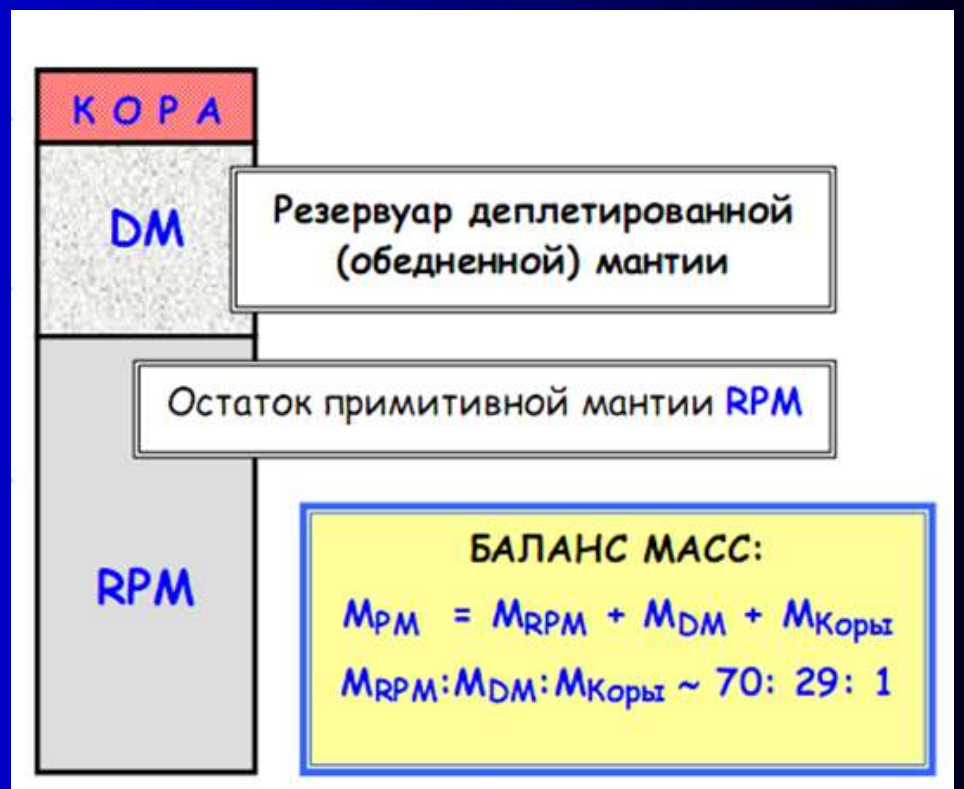
Современное строение





Когда?

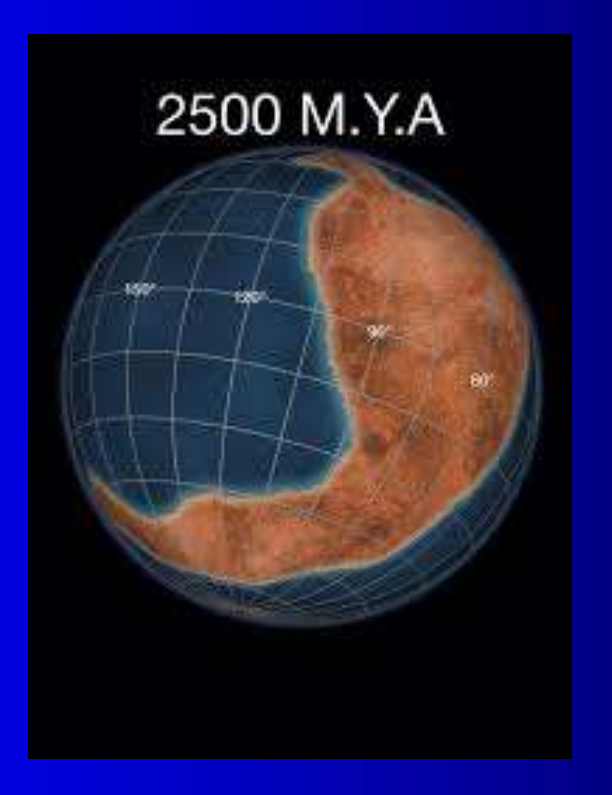


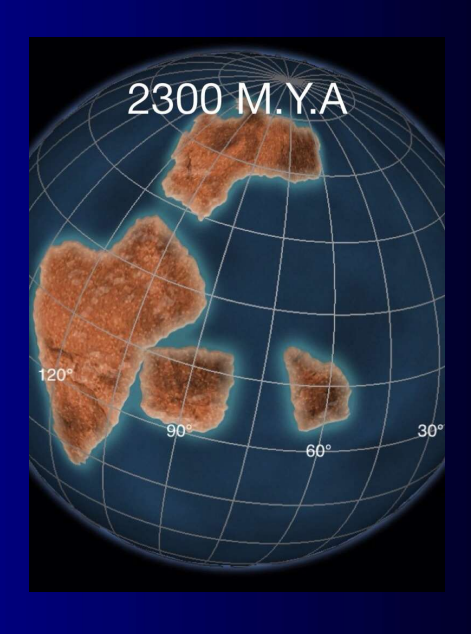


Шкала Докембрия (4567-539 млн. лет!)



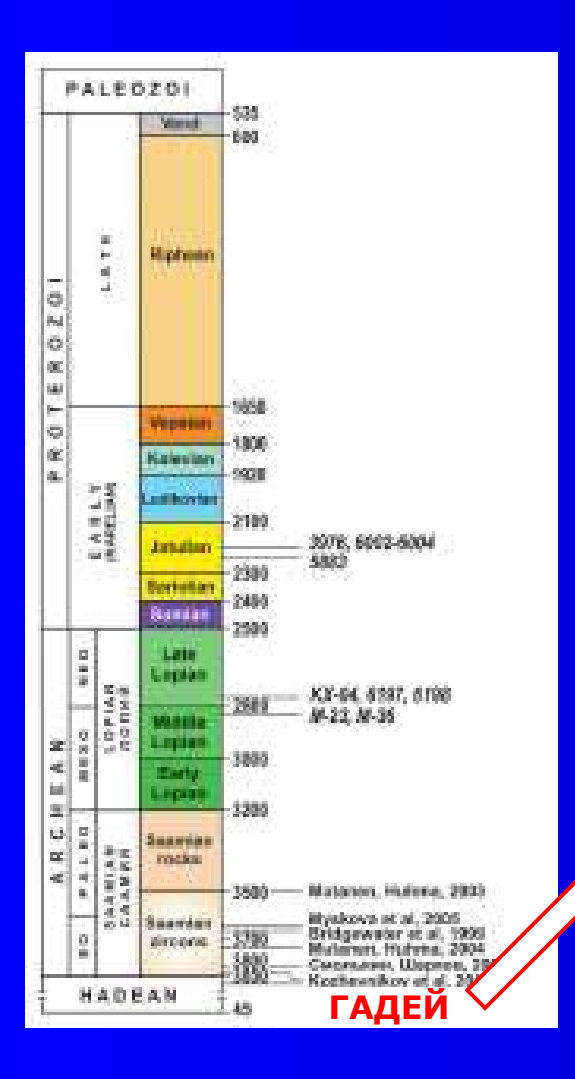
Суперконтинент Кенорланд (Kenorland) и его распад





Значение палеогеодинамики...

Древнейшее коровое вещество





Кварцево-гальковые конгломераты из обнажения Jack Hills в Западной Австралии (~100 м), где обнаружено 95% Гадейских цирконов!



Включения кварца и мусковита указывают на древний гранитный источник!

Relative probability 180 (a) 160 140 120 100 80 60 40 200 4000 4000 4400

20 (b) Relative probability 10 4300 4300 4400

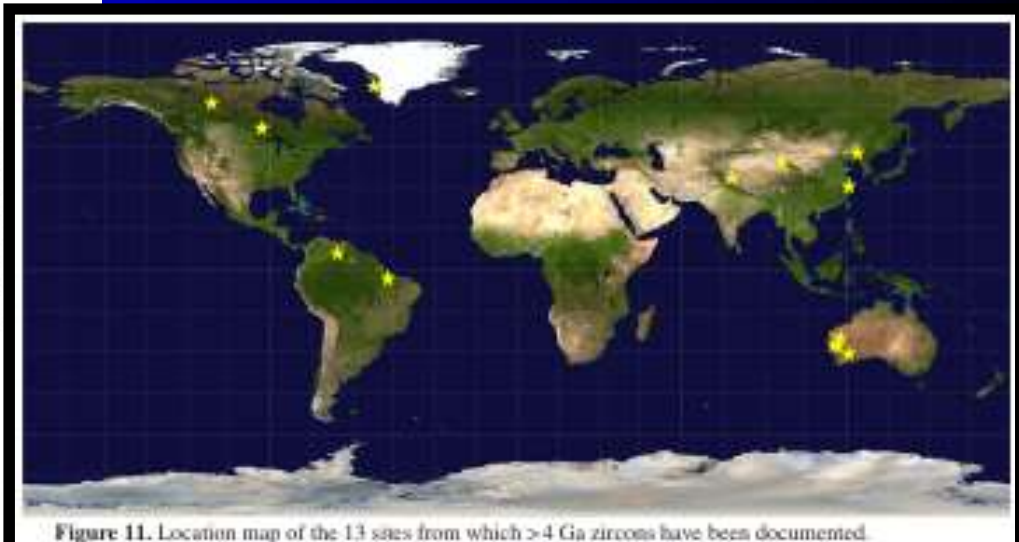
Цирконы Jack Hills

Гистограммы и встречаемость зерен циркона разного возраста:

на вставке — быстро сканированная популяция возрастом более 2.8 млрд. лет,

в середине – популяция древнее 3.9

внизу – только конкордатные цирконы древнее 4.2 млрд. лет - Гадей!





Gondwana Research Volume 51, November 2017, Pages 78-91



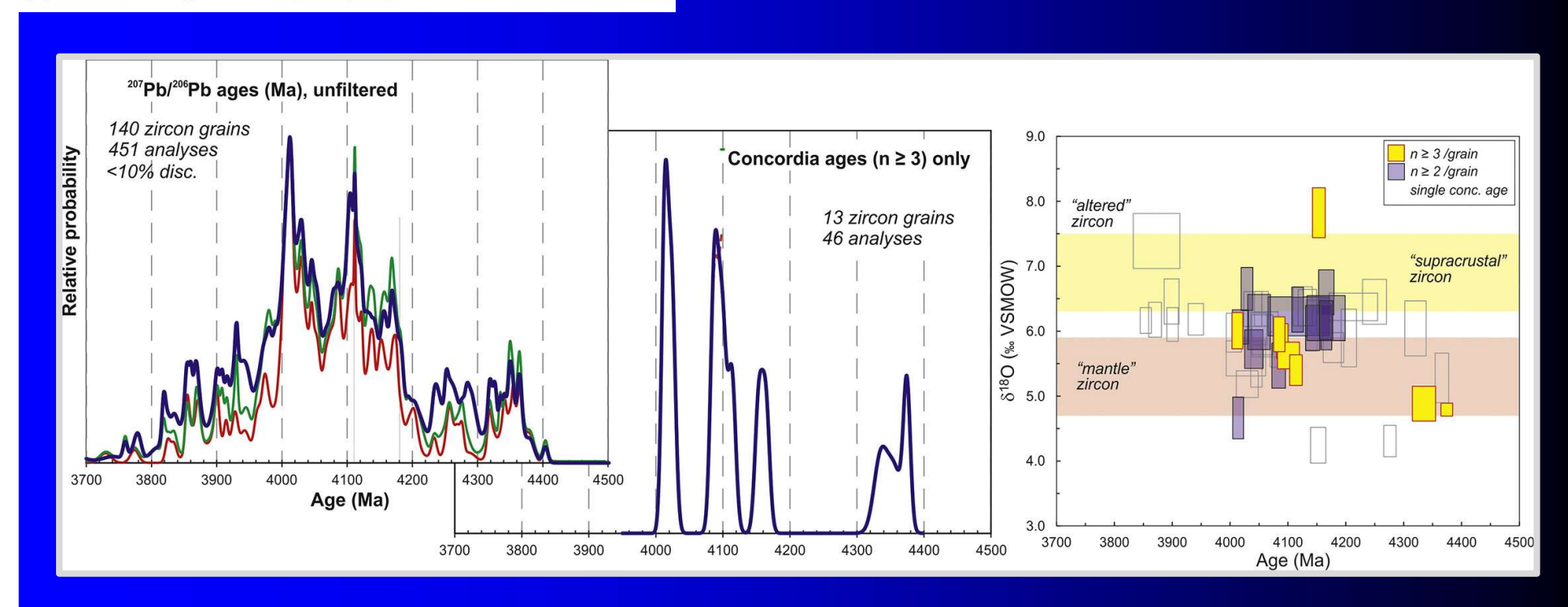
Древнейшие цирконы Земли:

GR focus review

What can Hadean detrital zircon really tell us? A critical evaluation of their geochronology with implications for the interpretation of oxygen and hafnium isotopes

M.J. Whitehouse ^a $\stackrel{>}{\sim}$ $\stackrel{\boxtimes}{\bowtie}$, A.A. Nemchin ^b, R.T. Pidgeon ^b

изотопный состав кислорода



Th-U-Pb изотопная система

- Главная характеристика -(1) $^{238} \text{U} \rightarrow ^{234} \text{U} \rightarrow ^{206} \text{Pb}$ (2) $^{235}U \rightarrow ^{207}Pb$ отношение радиогенных к стабильному изотопу 204 РЬ
- (3) 232 Th \rightarrow 208 Pb

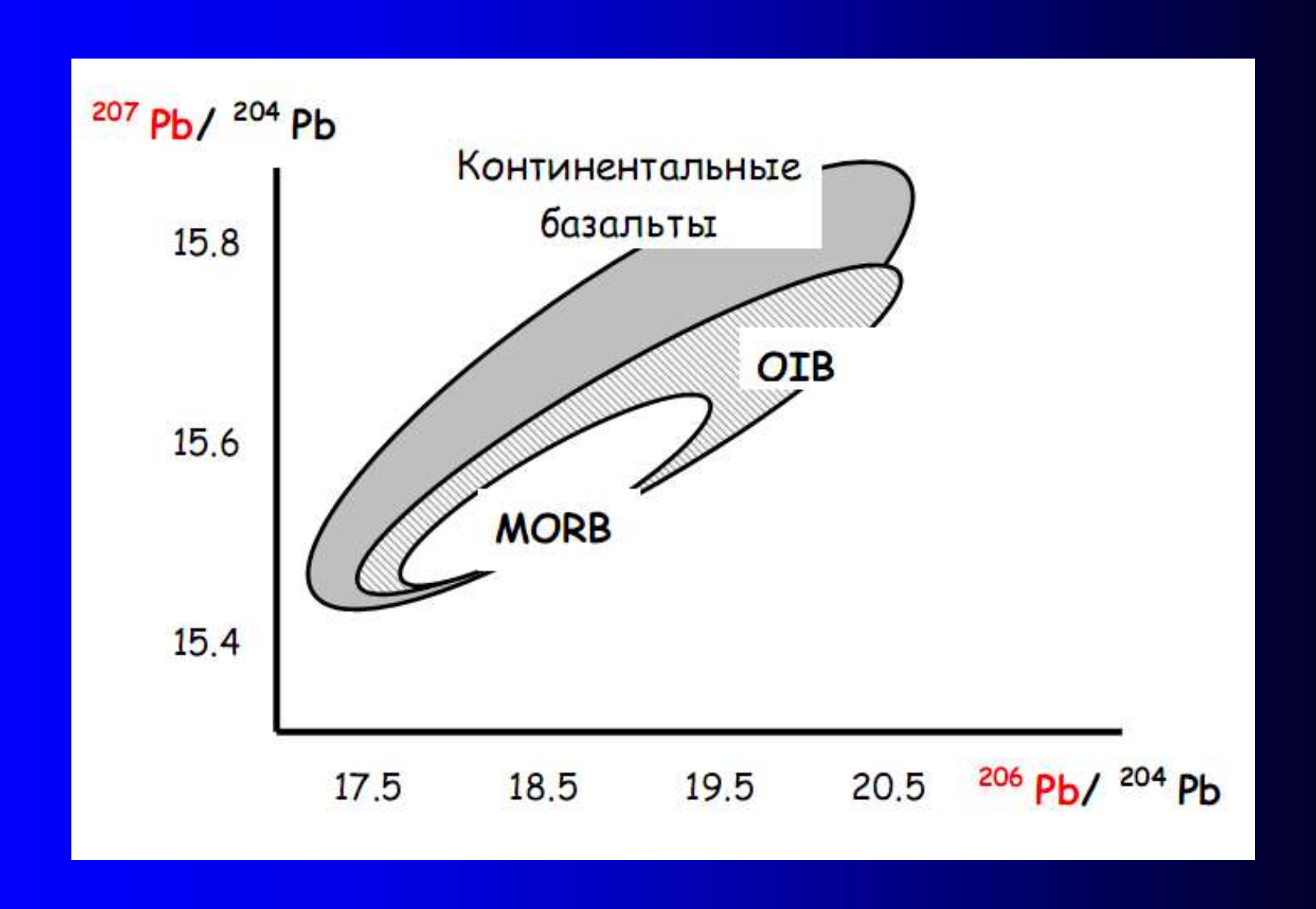
Эволюция характеристических отношений задается уравнениями вида:

$${206 \text{ Pb}/ }^{204}\text{Pb})_{nop} = {206 \text{ Pb}/ }^{204}\text{Pb})_0 + {238 \text{U}/ }^{204}\text{Pb})_{nop} (e^{\lambda_1 t} - 1)$$

$${207 \text{ Pb}/ }^{204}\text{Pb})_{nop} = {207 \text{ Pb}/ }^{204}\text{Pb})_0 + {235 \text{U}/ }^{204}\text{Pb})_{nop} (e^{\lambda_2 t} - 1)$$

$${208 \text{ Pb}/ }^{204}\text{Pb})_{nop} = {208 \text{ Pb}/ }^{204}\text{Pb})_0 + {232 \text{Th}/ }^{204}\text{Pb})_{nop} (e^{\lambda_3 t} - 1)$$

Th-U-Pb изотопная система



```
Re и Os - сидерофильные (халькофильные) элементы, при этом:
```

Re - поступает в базальтовый расплав

Os - распределяется в мантийные минералы

187
 Re \rightarrow 187 Os + β

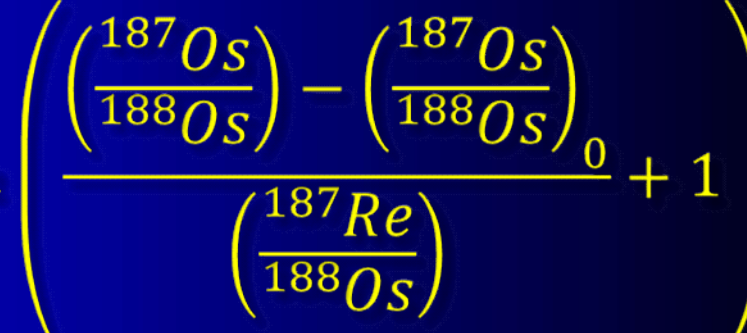
$$t_{1/2}$$
 = 42 млрд. лет

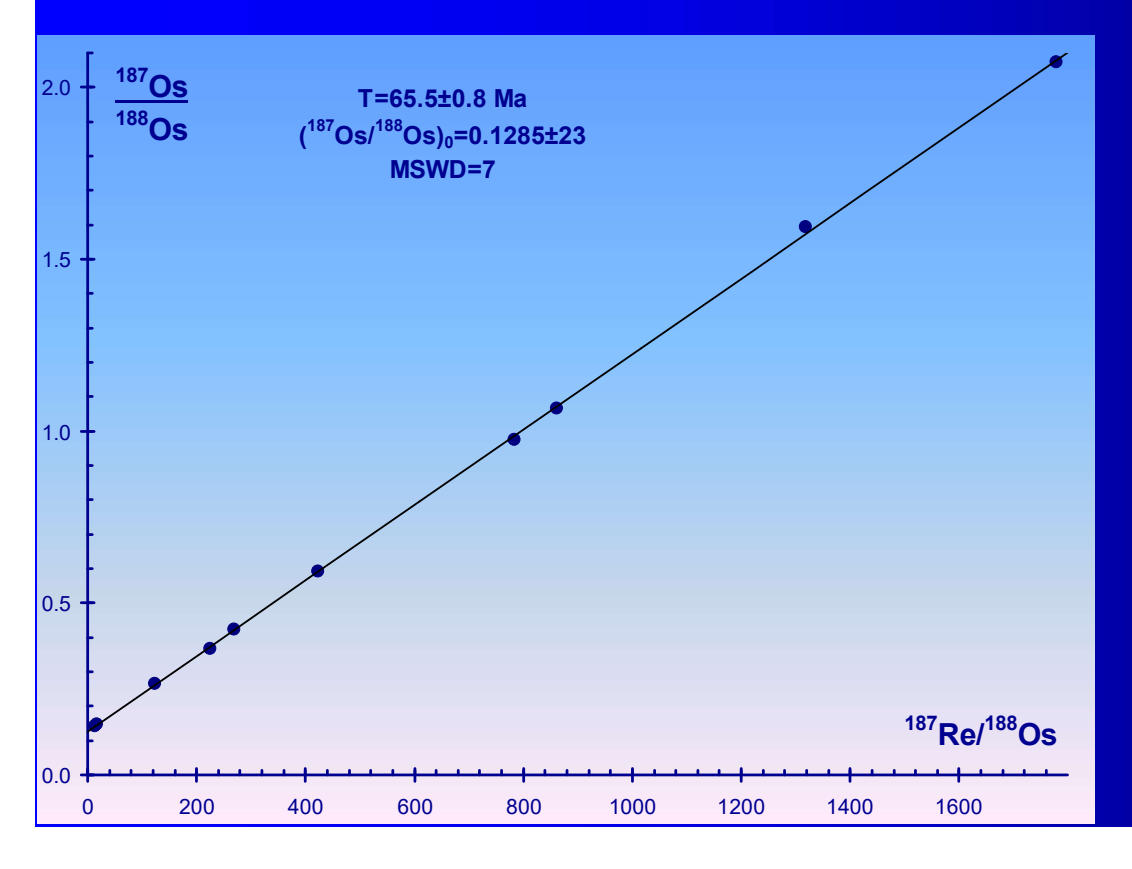
Характеристические отношения включают:

 λ_{187} =1.666×10⁻¹¹ год⁻¹ (Smoliar et al., 1996)

Re – Оѕ изотопная система

$$t = \frac{1}{\lambda} ln$$





Из лекций Ю.А. Костицына

Re – Оѕ изотопная система

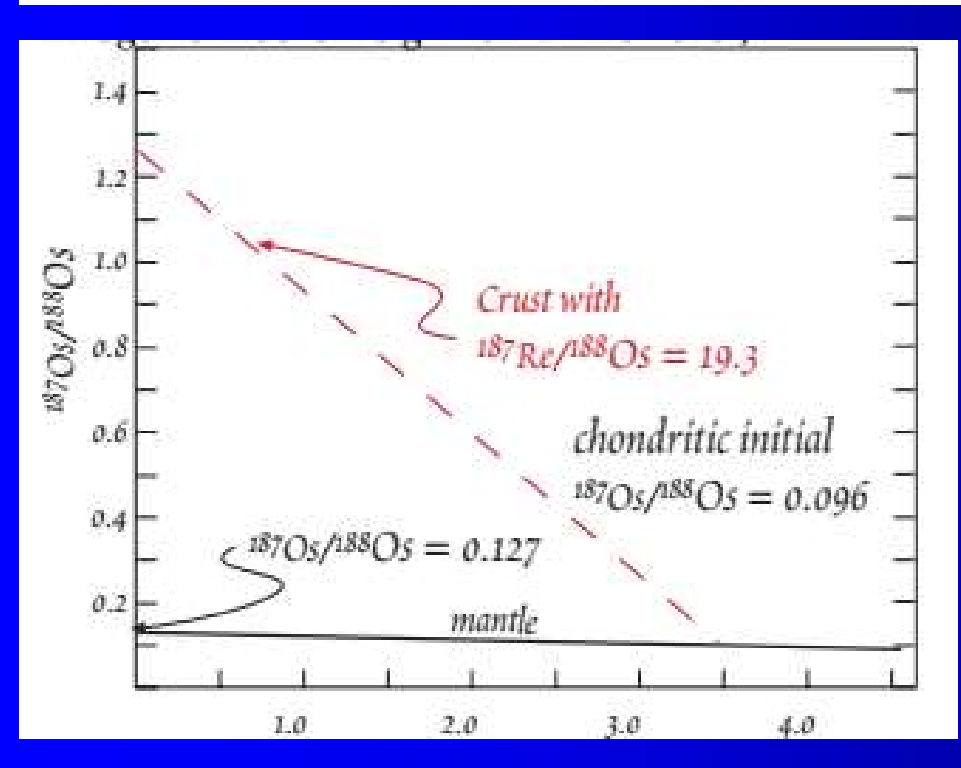
	at %%	AW
¹⁸⁴ Os	0.018%	
¹⁸⁶ Os	1.584%	
¹⁸⁷ Os	2.400%	
¹⁸⁸ Os	13.176%	190.21
¹⁸⁹ Os	16.058%	
¹⁹⁰ Os	26.146%	
¹⁹² Os	40.617%	
¹⁸⁵ Re	37.07%	186.21
¹⁸⁷ Re	62.93%	100.41

$$\left(\frac{^{187}Os}{^{188}Os}\right)_{CHUR} = 0.1270$$
 $\left(\frac{^{187}Re}{^{188}Os}\right)_{CHUR} = 0.40186$
(Shirey, Walker, 1998)

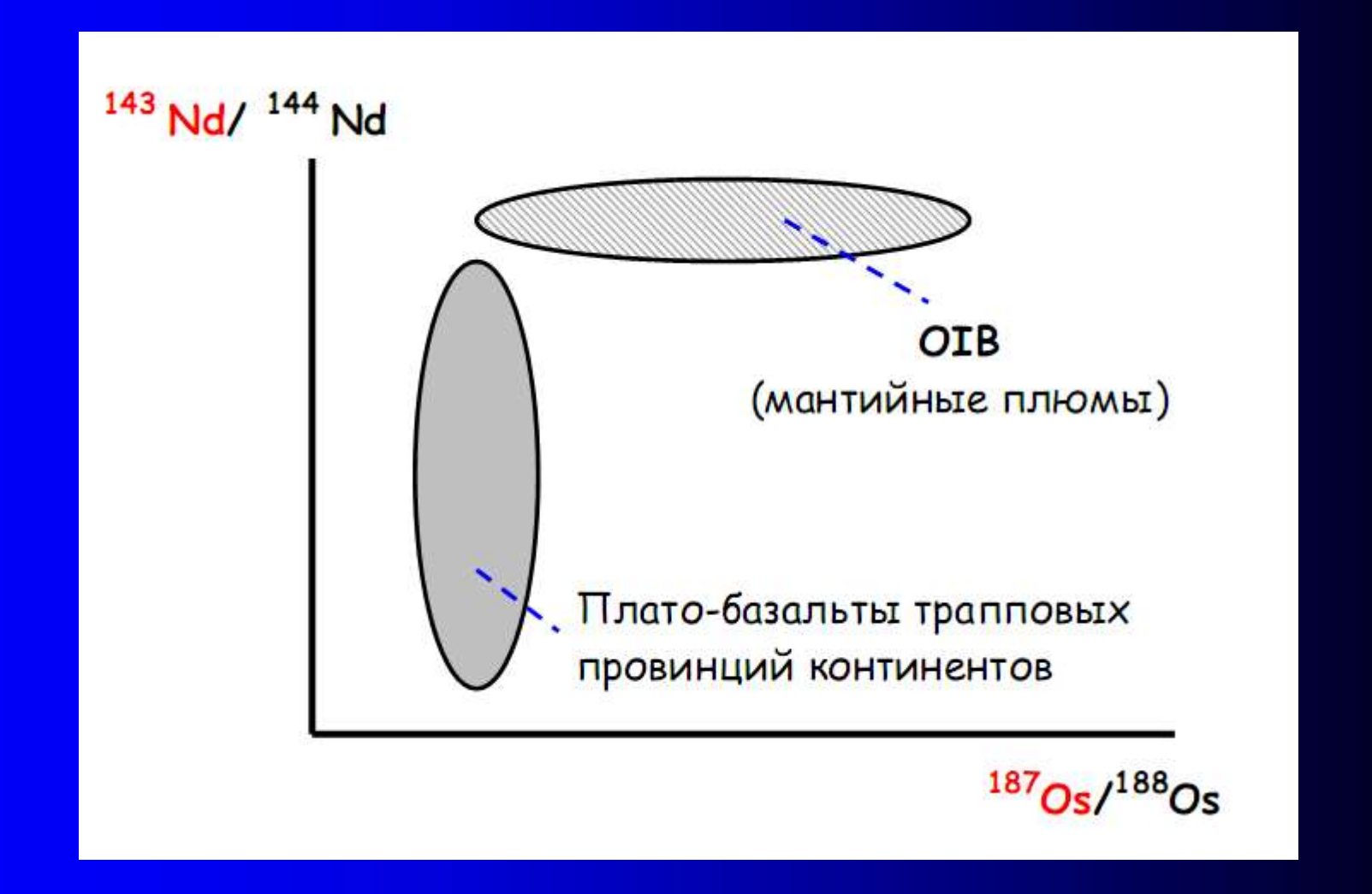
Since the silicate Earth appears to have a near-chondritic $^{187}Os/^{188}Os$ ratio, it is useful to define a parameter analogous to ϵ_{Nd} and ϵ_{Hf} that measures the deviation from chondritic. Walker et al. (1989) defined γ_{Os} as:

$$\gamma_{\text{Os}} = \frac{(\frac{^{187}\text{Os}}{^{188}\text{Os}})_{\text{sample}} - (\frac{^{187}\text{Os}}{^{188}\text{Os}})_{\text{chon}}}{(\frac{^{187}\text{Os}}{^{188}\text{Os}})_{\text{chon}}} \times 100$$
11.2

Because of the differences in compatibility, Re/Os variations are huge. The mantle has a Re/Os ratio on the order of 0.1 whereas the crust has a Re/Os ratio on the order of 100. The ¹⁸⁷Os/¹⁸⁸Os ratio of the mantle is about 0.12 whereas the crustal ratio is thought to be between 1.1 and 1.3. Despite



$$\left(\frac{^{187}Os}{^{188}Os}\right)_{CHUR} = 0.1270$$
 $\left(\frac{^{187}Re}{^{188}Os}\right)_{CHUR} = 0.40186$
(Shirey, Walker, 1998)



Отношение ¹⁸⁷Os /¹⁸⁸Os как индикатор сублитосферной мантии

